

Supplement of Atmos. Chem. Phys., 20, 10953–10965, 2020
<https://doi.org/10.5194/acp-20-10953-2020-supplement>
© Author(s) 2020. This work is distributed under
the Creative Commons Attribution 4.0 License.



Supplement of

**Oligomer and highly oxygenated organic molecule formation
from oxidation of oxygenated monoterpenes emitted by
California sage plants**

Archit Mehra et al.

Correspondence to: Manjula Canagaratna (mrcana@aerodyne.com) and Hugh Coe (hugh.coe@manchester.ac.uk)

The copyright of individual parts of the supplement might differ from the CC BY 4.0 License.

Supplement

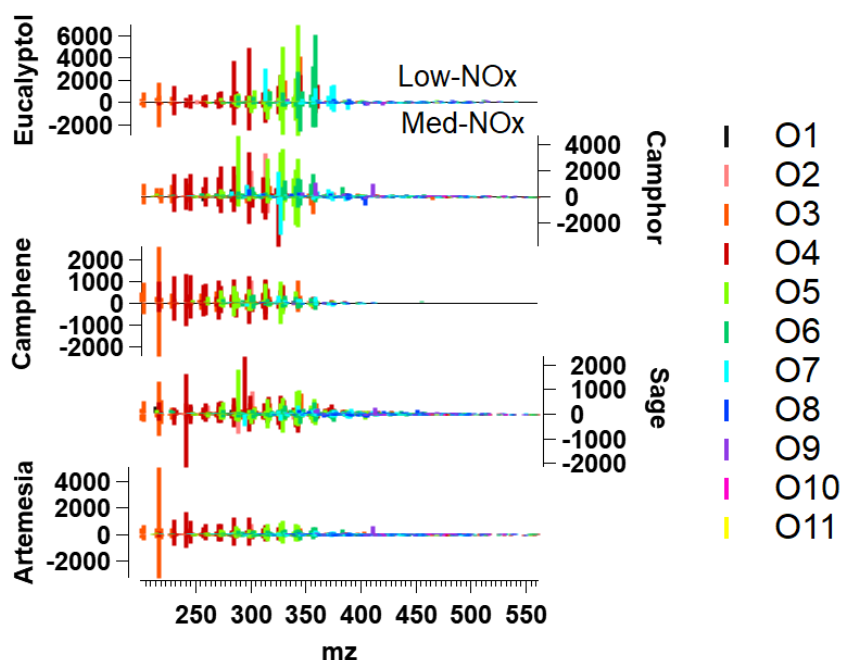


Figure S1 FIGAERO-I-CIMS Aerosol Phase Mass Spectra under low NOx conditions (up) and high NOx conditions (down)

Top 20 ions ranked by signal under low-NOx conditions				
Sage	Artemesia	Camphor	Camphene	Eucalyptol
C8H8IO4	C3H6IO3	C6H10IO5	C3H6IO3	C10H16IO5
C6H10IO5	C4H2IO4	C9H14IO5	C4H2IO4	C10H16IO6
C4H2IO4	C7H10IO4	C9H12IO5	C4H6IO4	C9H14IO5
C3H6IO3	C8H12IO4	C8H12IO4	C3H4IO4	C8H12IO4
C10H16IO5	C3H4IO4	C12H10IO2	C8H12IO4	C13H14IO3
C11H10IO2	C4H6IO4	C10H16IO5	C7H10IO4	C7H10IO4
C10H14IO5	C9H14IO5	C8H12IO5	C9H14IO4	C10H14IO6
C13H14IO3	C9H12IO5	C7H10IO4	C6H8IO4	C5H14IO7
C10H16IO4	C5H8IO4	C6H10IO4	C11H10IO2	C9H12IO6
C8H12IO4	C6H10IO4	C10H14IO5	C13H12IO3	C12H12IO2
C9H16IO4	C8H12IO5	C11H10IO2	C10H18IO3	C9H12IO5
C7H10IO4	C11H10IO2	C6H14IO7	C2H2IO4	C10H16IO4
C9H14IO5	C10H14IO5	C3H4IO4	C9H12IO5	C12H10IO4
C11H18IO5	C6H8IO4	C10H14IO6	C2H4IO3	C10H14IO5
C8H12IO5	C10H16IO5	C4H6IO4	C5H8IO4	C12H12IO3
C10H18IO4	C9H14IO4	C10H8IO2	C8H10IO5	C11H10IO2
C3H8IO3	C2H4IO3	C6H8IO4	C5H6IO4	C3H6IO3
C2H4IO3	C20H27O9	C9H12IO4	C12H10IO3	C10H16IO7
C6H10IO4	C6H8IO5	C5H8IO4	C10H18IO4	C13H14IO4
C10H8IO2	C10H14IO4	C9H12IO6	C6H6IO5	C3H4IO4

Table S1 Ranked Top 20 ions under low-NOx conditions

Top 20 ions ranked by signal under medium-NOx conditions				
Sage	Artemesia	Camphor	Camphene	Eucalyptol
C4H2IO4	C3H6IO3	C10H14IO4	C3H6IO3	C10H16IO5
C3H6IO3	C4H2IO4	C5H14NIO7	C4H2IO4	C9H14IO5
C10H10IO2	C3H4IO4	C10H16IO5	C8H12IO4	C9H14IO6
C10H18NIO4	C8H12IO4	C10H14IO5	C9H12IO5	C8H12IO4
C9H14IO5	C7H10IO4	C8H12IO4	C3H4IO4	C10H16IO6
C8H12IO4	C9H14IO5	C9H14IO5	C7H10N2IO4	C3H6IO3
C10H16IO4	C4H6IO4	C8H12NIO4	C6H8IO4	C10H14IO6
C13H12IO3	C10H14IO5	C13H12NIO3	C9H16NIO3	C7H10IO4
C8H12IO5	C9H12IO5	C12H12IO2	C4H6IO4	C9H14IO4
C10H16NIO4	C6H10IO4	C9H12IO4	C6H10NIO4	C9H12IO5
C7H10IO4	C10H16IO5	C6H10IO4	C6H6IO5	C10H14IO5
C3H6NIO7	C8H12IO5	C7H10IO4	C5H6IO4	C8H12IO5
C10H16IO5	C9H14IO4	C3H4IO4	C5H8IO4	C9H12IO6
C10H14IO5	C6H8IO4	C4H6IO4	C9H14IO4	C3H4IO4
C10H14IO4	C10H14IO4	C4H2IO4	C9H14IO5	C10H14IO4
C3H4IO4	C2H4IO3	C7H12NIO4	C2H4IO3	C10H16IO4
C10H18NIO5	C9H14IO6	C9H12IO6	C6H10IO4	C7H10IO5
C7H10IO5	C5H8IO4	C10H12IO5	C2H2IO4	C13H12IO4
C3H8IO3	C8H10IO5	C6H10IO5	C8H14IO4	C8H10IO5
C9H14IO6	C10H14IO6	C5H8IO4	C7H10IO3	C10H16IO7

Table S2 Ranked Top 20 ions under medium-NOx conditions